

*networks (T2FWN) for system identification using fuzzy differential and Lyapunov stability algorithm // Applied Soft Computing. – 2009. – 9(3). – P. 977-989. 11. Wu H., Mendel J.M. Uncertainty bounds and their use in the design of interval type-2 fuzzy logic system // IEEE Tran. on Fuzzy Systems. – 2002. – 10 (5). – P. 622-639. 12. Mendel J. Uncertain Rule-Based Fuzzy Logic Systems: Introduction and New Directions // Upper-Saddle River, NJ: Prentice Hall, 2001. – 555 p. 13. Бодянский Е.В., Винокурова Е.А. Вэйвлет-нейро-фаззи система типа-2 и алгоритм ее обучения в задачах интеллектуальной обработки информации // Адаптивные системы автоматического управления. – К.: НТУУ «КПІ», 2010. – 17(37). – С. 139–148. 14. Бодянский Е.В., Винокурова Е.А., Харченко А.А. Прогнозирующая вэйвлет-нейро-фаззи-система типа-2 // Материалы міжнародної наукової конференції «Інтелектуальні системи прийняття рішень та проблеми обчислювального інтелекту», Херсон. – 2011. – Т. 1. – С. 215–220. 15. Бодянский Е.В., Винокурова Е.А. Адаптивный вэйвлет-нейронный предиктор // Проблемы бионики. – 2003. – Вып. 58. – С. 10-17. 16. Yamakawa T., Uchino E., Miki T., Kusanagi H. A neo-fuzzy neuron and its application to system identification and prediction of the system behavior // Proc. 2nd Int. Conf. on Fuzzy Logic and Neural Networks, IIZUKA-92, Iizuka, Japan, 1992. – vol. II. – P. 477–483. 17. Mitaim S., Kosko B. Adaptive joint fuzzy sets for function approximation // Proc. Int. Conf. on Neural Networks. – 1997. – P. 537–542. 18. Shepherd A. J. Second-Order Methods for Neural Networks – London: Springer-Verlag, 1997. – 145 p. 19. Бодянський Є. В., Михальов О. І., Плісс І. П. Адаптивне виявлення розладнань в об'єктах керування за допомогою штучних нейронних мереж. – Дніпропетровськ: Системні технології, 2000. – 140 с. 20. Otto P., Bodyanskiy Ye., Kolodyazhniy V. A new learning algorithm for a forecasting neuro-fuzzy network // Integrated Computer-Aided Engineering. – 10. – N4. – Amsterdam: IOS Press, 2003. – P. 399–409.*

УДК 621.39

**Я. Соколовський, О. Мокрицька**

Національний лісотехнічний університет України

## **ОБ'ЄКТНО-ОРІЄНТОВАНА РЕАЛІЗАЦІЯ МЕТОДУ СКІНЧЕННИХ ЕЛЕМЕНТІВ ДЛЯ РОЗРАХУНКУ В'ЯЗКОПРУЖНОГО СТАНУ КАПІЛЯРНО-ПОРИСТИХ МАТЕРІАЛІВ**

© Соколовський Я., Мокрицька О., 2011

У межах об'єктно-орієнтованого підходу та UML розроблено програмне за безпечення для реалізації математичної моделі в'язкопружного деформування капілярно-пористих матеріалів з використанням методу скінченних елементів. Створене об'єктно-орієнтоване програмне забезпечення складається зі задокументованих класів, які можуть повторно використовуватись для реалізації нових моделей.

**Ключові слова:** математична модель, об'єктно-орієнтований підхід, метод скінченних елементів, в'язкопружний стан, пористий матеріал.

**In the object-oriented approach and UML developed software to implement the mathematical model of viscoelastic deformation of capillary-porous materials using the finite element method. The created object-oriented software consists of documented classes that can be reused to implement new models.**

**Keywords:** mathematical model, object-oriented approach, finite element method, viscoelasticity, porous material.

### **Актуальність досліджень**

Програмне забезпечення автоматизованих систем розрахунку та аналізу механічних систем переважно створюють за підходами структурного програмування з використанням мов програмування високого рівня. Подальшого вдосконалення та підвищення ефективності програмного

забезпечення автоматизації розрахунків фізико-механічних полів можна досягти шляхом переходу до об'єктно-орієнтованого аналізу та проектування програмних систем.

Здійснено спробу побудувати пакет програмних модулів на основі об'єктно-орієнтованого підходу для математичного моделювання та аналізу деформаційно-релаксаційних процесів у капілярно-пористих матеріалах методом скінченних елементів (МСЕ). Здійснено аналіз та проектування структури об'єктно-орієнтованої реалізації МСЕ математичної моделі в'язко-пружного деформування капілярно-пористих матеріалів. Відношення між створеними класами та взаємодією об'єктів цих класів відображене у графічній нотації UML (United Modeling Language).

### Аналіз результатів

Сьогодні існує порівняно небагато публікацій застосування об'єктно-орієнтованого підходу для програмної реалізації МСЕ [1–7], в яких запроектовано класи базових компонентів МСЕ (елементів, вузлів, граничних умов та навантажень). Їх аналіз дає змогу стверджувати, що безпосереднє створення об'єктів у програмному коді породжує необхідність перекомпліювання програми для нових даних. Потребує подальшого вдосконалення задача візуального створення та редагування об'єктів шляхом їх інтегрування з генераторами розбиття геометричної області. Сам МСЕ потребує виконання значних обсягів числової інформації. В існуючих об'єктно-орієнтованих моделях введено об'єкти інтегрування в часі та розв'язання системи лінійних алгебраїчних рівнянь (СЛАР) [3–4]. Відсутність явно виділеного класу їх розв'язання зумовлює переписування коду ітераційного процесу та унеможливлює повторне використання програмних кодів. Наукові публікації [8–12] свідчать про використання об'єктної моделі адаптивних методів скінченних елементів, коли на основі аналізу отриманих розв'язків визначається стратегія подальших обчислень. Важливими є дослідження [13] декомпозицій та паралельних розподілених технологій для адаптивних методів скінченних елементів.

**Алгоритмічні аспекти реалізації МСЕ в'язкопружного деформування потенціалів.** Метод скінченних елементів полягає у такому: будь-яку неперервну величину (у цьому випадку компоненти напруженого-деформівного стану) можна апроксимувати дискретною моделлю, яка будується на множині кусково-неперервних функцій, що визначені на скінченному числі підобластей [14]. Побудова дискретної моделі ґрунтуються на основі співвідношень математичної моделі дослідження в'язкопружного стану капілярно-пористих тіл як трифазної системи, що складається з твердої фази, рідкої і пароповітряної фаз [15, 16]. Систему модельних рідин побудовано у межах механіки багатофазних систем з врахуванням реологічної поведінки матеріалу, зокрема механізму накопичення незворотних деформацій та деформацій механіко-сорбційної повзучості [15]. Для реалізації математичної моделі здійснено варіаційне формульовання задачі на основі принципу мінімуму повної потенціальної енергії [2, 6]. Функціонал Лапласа у переміщеннях  $\vec{U} = (U_x, U_y)$  записується у вигляді

$$\Pi(u) = \frac{1}{2} \int_{\Omega} U^T B^T C B U d\Omega - \frac{1}{2} \int_{\Omega} U^T B^T C \int_0^t R(t, s) B U ds d\Omega, \quad (1)$$

де  $C$  – тензор пружних характеристик,  $R(t, s)$  – тензор ядра релаксації,  $B$  – матриця виду

$$B^T = \begin{pmatrix} \frac{\partial}{\partial x} & 0 & \frac{1}{2} \frac{\partial}{\partial y} \\ 0 & \frac{\partial}{\partial y} & \frac{1}{2} \frac{\partial}{\partial x} \end{pmatrix}, \quad \Omega \text{ – геометрична область } \Omega = \{(x, y) \mid 0 \leq x \leq l_1; 0 \leq y \leq l_2\}, \quad l_1, l_2 \text{ –}$$

геометричні розміри,  $t$  – час. Просторово-часову апроксимацію переміщень подано у вигляді

$$U_i(t) = (U_i(t_{j-1}) + U_i(t_j)) \frac{t_j - t}{t_j - t_{j-1}} \quad (2)$$

де  $U_i(t_{j-1}), U_i(t_j)$  – вектор переміщень у вузлах  $t_{j-1}, t_j$ .

З умов мінімуму  $\Pi(U) \rightarrow \min$  отримують основні спiввiдношення МСЕ, згiдно з якими задача визначення перемiщень  $U$  зводиться до визначення СЛАР.

*Програмна реалiзацiя моделi МСЕ.* Для побудови програмної системи видiлено програмнi модулi, якi є одиницею об'єктно-орiєнтованої реалiзацiї алгоритму (1)-(2) у контекстi основних понять i термiнiв МСЕ. Такий пiдхiд дає змогу розкласти побудовану дискретну модель у виглядi класiв (пакетiв класiв) та вiдношень мiж ними. Пояснення зв'язкiв мiж спроектованими класами та взаємодiю об'єктiв цих класiв здiйснено за допомогою дiаграм UML. В окремi пакети видiлено класи, якi реалiзують: геометричнi та фiзико-механiчнi характеристики об'єкта дослiджень; розбиття областi на скiнченнi елементи за допомогою сiтки вузлiв; визначення базисних функцiй у межах скiнченних елементiв; обчислювальнi класи (квадратури для чисельного iнтегрування); iнтерполяцiйнi функцiї; розв'язання систем лiнiйних алгебраїчних рiвнянь (СЛАР); класи орiєнтованi на конкретнi обчислення матричної та векторної алгебри; класи збереження введення та виведення даних; iнтерфейс користувача.

Для опису кожної такої групи використано механiзм iнтерфейсiв. Кожен з таких iнтерфейсiв мiстить сигнатури функцiй, якi описують такi сутностi:

- температурнi та вологiснi коефiцiенти, що мiстить задача визначення потокiв масоперенесення у рiдкiй, твердiй та газоподiбнiй фазах, описанi у виглядi функцiй, що залежать вiд температури та вологостi та iнших аргументiв (ITemperatureCoefficients);
- коефiцiенти, необхiднi для опису задачi в'язкопружностi, якi також обчислюються залежно вiд температури та вологомiсту матерiалu (IStrainCoefficients);
- параметри зовнiшнього середовища, а саме температура середовища  $t_c$ , вiдносна вологiсть  $j$ , видiленi в окремий iнтерфейс (IEnvironmentCoefficients);
- параметри числового розв'язування – такi, як кiлькiсть розбиттiв за часом, кiлькiсть розбиттiв за координатними осями, порядок квадратурних формул для обчислення iнтегралiв тощо (IProblemOptions);
- початковi значення температури  $t_0$ , вологомiсту  $u_0$  матерiалu у початкових умовах граници умови для компонент перемiщень  $\vec{U}$  та напружень  $S$  на границих областi  $\Omega$ , а також гeометричнi розмiри матерiалu ( $l_1$  i  $l_2$ ) та тривалiсть процесу  $\Theta$  (IProblemConditions).

Цi п'ять iнтерфейсiв (рис. 1) реалiзованi у чотирьох класах (фiзико-механiчнi коефiцiенти задач масоперенесення та визначення напруженено-деформiвного стану об'єднанi в один клас). Класи являють собою вiзуальнi компоненти – дiалоговi вiкна, у яких користувач може задати значення вказаних параметрiв. Вони наслiдують спiльний абстрактний клас (FCoefsDialog), який об'єднує функцiї, необхiднi для роботи дiалогових вiкон.

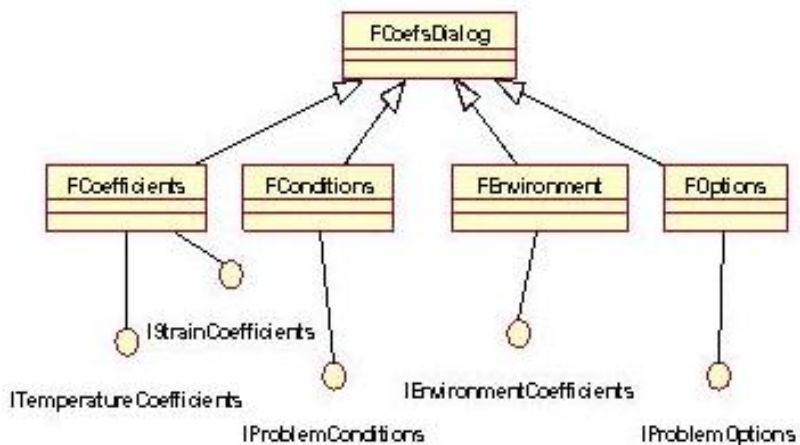


Рис. 1. Розбиття вхiдних даних задачi на класи

Після того, як задано усі необхідні умови задачі, можна приступати до реалізації інших етапів. Відразу ж постає питання вибору форми скінчених елементів та спосіб розбиття області на ці елементи. Зважаючи на те, що область  $\Omega$  задачі має прямокутну форму, можна успішно використати прямокутні елементи.

Поділивши область на множину прямокутних елементів, у межах кожного елемента перейдемо до локальної системи безрозмірних координат  $\Omega_e = \{\{x, h\} : -1 \leq x \leq 1, -1 \leq h \leq 1\}$  за допомогою перетворень:

$$x = \frac{2x - x_{1\max} - x_{1\min}}{x_{1\max} - x_{1\min}} \quad h = \frac{2x - x_{2\max} - x_{2\min}}{x_{2\max} - x_{2\min}},$$

де  $(x_{1\min}, x_{2\min})$  та  $(x_{1\max}, x_{2\max})$  – координати відповідно лівого нижнього та правого верхнього кутів прямокутного скінченного елемента (рис. 2).

Найпоширенішими є два сімейства прямокутних елементів: лагранжеві (із внутрішніми вузлами) та сирендипові (без внутрішніх вузлів). У програмній реалізації використано лагранжеві елементи, які походять безпосередньо від поліномів Лагранжа:

$$L_k^n(x) = \frac{(x - x_0)L(x - x_{k-1})(x - x_{k+1})L(x - x_n)}{(x_k - x_0)L(x_k - x_{k-1})(x_k - x_{k+1})L(x_k - x_n)},$$

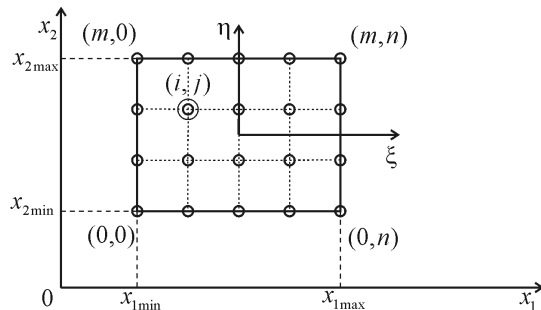


Рис. 2. Стандартний скінчений елемент типу Лагранжа

Якщо розглянути прямокутний елемент (рис. 2) із рівномірно віддаленими  $n$  вузлами в напрямку радіальної осі  $x_1$  та  $m$  – в напрямку тангентальної осі  $x_2$ , то для вузла  $ij$  базисна функція виражається через добуток двох поліномів Лагранжа

$$N_{ij}(x, h) = L_i^n(x) \cdot L_j^m(h) \quad (3)$$

Прикладна програма реалізує три типи елементів Лагранжа: лінійний, квадратичний та кубічний. Визначені в межах скінченного елемента базисні функції різних порядків отримуємо із формулі (3).

Алгоритм методу скінчених елементів передбачає, що скінченні елементи та базисні функції взаємопов'язані. При програмуванні цих двох сутностей як класів між ними можна поставити зв'язок узагальнення: *скінчений елемент* (TUElem) наслідує порядок, що зберігається у класі *базисних функцій* (TUInterpolation) (рис. 3). Також клас (TUElem) використовується для обчислення об'ємних та криволінійних інтегралів, що входять у варіаційні формулювання задачі (1), (2). Для обчислення одинарних інтегралів по границі області, визначений клас *граничний елемент* (TUBound), який також наслідує клас *базисних функцій* (TUInterpolation) (рис. 3).

Окремо запрограмований клас (TUInterpolation) містить віртуальні процедури обчислення базових інтерполяційних функцій, а також похідних за коефіцієнтами. Інтегральні характеристики скінчених елементів, зокрема матриці жорсткості обчислюється інтегруванням за елементом. Для цього клас (TUInterpolation) містить методи інтегрування заданої змінної матриці в області, яка має канонічну форму у локальних координатах. Можуть бути утворені похідні класи для інтегрування квадратур для областей різної форми.

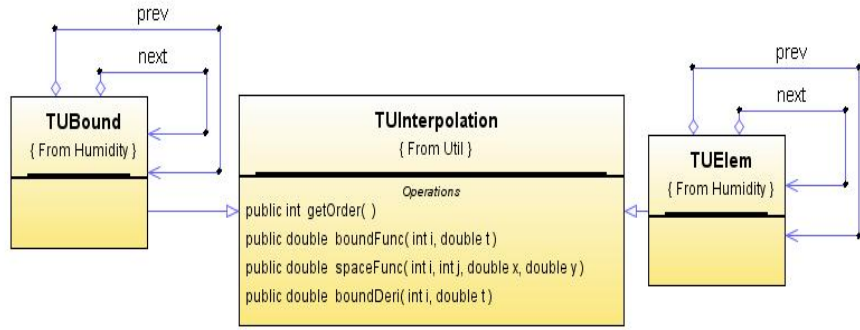


Рис. 3. Зв'язок узагальнення між базисною функцією та скінченним елементом

Скінченні і граничні елементи будуються на певній сітці вузлів, якою покривається область задачі. Постає питання, як реалізувати зв'язок між елементом та вузлами, на яких він побудований. Відомі програмні реалізації методу скінченних елементів передбачають використання масивів різних розмірностей. Зокрема перший масив зберігав усі вузли (іхні номери, координати тощо), другий встановлював відповідність номерів скінченних елементів номерам вузлів, що їм належать, третій зберігав номери вузлів, що знаходяться на границі. Це вимагало значних зусиль при написанні та відлагодженні програмного коду, узгодженості за відповідністю розмірностей та індексів масиву.

У цій програмній реалізації МСЕ для збереження усієї множини вузлів, які накладаються на область задачі, використано (6) двозв'язний замкнений список. (Кожен елемент списку містить вказівники на попередній та на наступний елементи (перші та останній, а останній на перший) та будь-які власні дані. Вказівники на початок та на поточний елемент списку дають змогу здійснювати всі потрібні дії: переміщуватись за елементами, додавати або видаляти їх.

Здійснити обхід елементів списку (незалежно від їхньої кількості) не складніше ніж перебрати елементи масиву. Наступна частина коду (мовою програмування Java) перебирає усі елементи певного списку і уможливлює використання методу calculateMatrice() для кожного елемента:

```

elems.setHead();
do {
    elems.getCurr().calculateMatrice();
} while (elems.move(1)!=elems.getHead());

```

Шукані вузлові значення окремо виділено в клас (TUVValues). Отже, кожен вузол (TUNode) – це точка (Point) з певними координатами. Він містить вказівники на попередній та наступний вузли та масив структур вузлових значень (TUValue) для різних моментів часу (рис. 4).

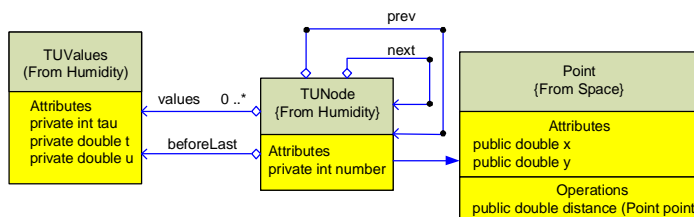


Рис. 4. Відношення між класами, що зберігають вузли і вузлові значення

Збереження множини скінченних та граничних елементів також організовано на основі двозв'язних замкнених списків. Скінченні та граничні елементи містять вказівники на вузли, що їм належать, а отже, звертаються напряму до своїх вузлів.

Зображені на рис. 5 класи відображають лише фрагмент прикладної програми, а саме структуру, необхідну для зберігання розбиття області, вузлових значень та базисних функцій,

зберігання компонент переміщень, деформацій та напружень. Для реалізації решти етапів, які потрібно здійснити згідно зі загальним алгоритмом МСЕ, запрограмовано класи, які організовують: зберігання матриць та розв'язування СЛАР, чисельне інтегрування на основі квадратурних формул Гаусса та графічний інтерфейс користувача. Для здійснення операцій над векторами та матрицями, розв'язування систем лінійних алгебраїчних рівнянь було використано пакет класів *Jama* [17].

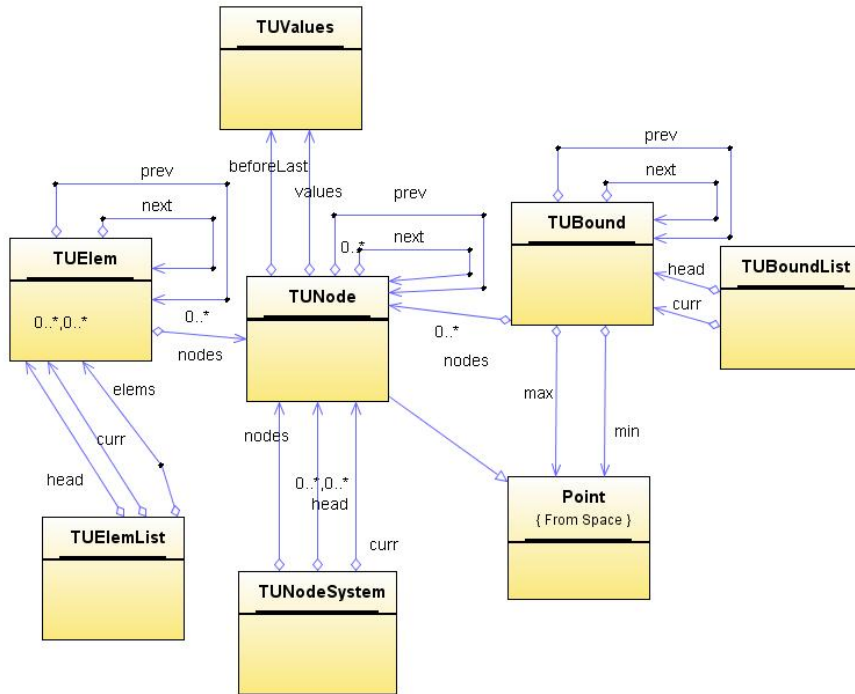


Рис. 5. Діаграма класів реалізації розбиття області

Для проектування послідовності взаємодії об'єктів в обчислювальному процесі використано діаграми послідовностей UML. Графічний інтерфейс дає можливість одночасно створювати декілька задач (до 4-х) з різними умовами, розв'язувати їх та візуалізувати інформацію у вигляді графіків. Під час створення задач необхідно побудувати об'єкти класів, які описані на рис.1. Конструктори відповідних класів задають значення початкових умов за замовчуванням та створюють діалогові вікна, в яких користувач може змінювати умови задачі.

У процесі обчислення створюється об'єкт класу *TUResult*, який, взаємодіючи із структурою елементів та вузлів, дає змогу апроксимувати шукані величини у невузлових точках. Визначення компонент напружень на новому часовому кроці згідно з математичною моделлю [15, 16] вимагає наявності розподілів величин  $Q_{1,2}$  і  $Q_{1,3}$ . Значення  $Q_{1,2}$  і  $Q_{1,3}$  визначаються із розв'язання задачі масоперенесення у різних фазах у середовищі. Оскільки величини ітерацій у задачах визначення  $Q_{1,2}$  і  $Q_{1,3}$  та знаходження компонент напружень можуть не збігатися, то перед обчисленням напружень на наступному часовому кроці необхідно мати можливість здійснити необхідну кількість ітерацій визначення величин  $Q_{1,2}$  і  $Q_{1,3}$ .

### Числовий експеримент

Знайдемо використання програмної системи для розрахунку та аналізу в'язко-пружного стану деревини на основі моделі [15, 16]. Необхідні для розрахунку емпіричні залежості фізичних властивостей деревини з базовою густиною  $r = 530 \text{ кг}/\text{м}^3$  наведено у роботі [5]. Параметри зовнішнього середовища вважаються сталими: температура середовища  $T_c = 60^\circ\text{C}$ ; відносна вологість  $j = 70\%$ . Початкові температура і вологість відповідно дорівнюють  $T_0 = 20^\circ\text{C}$ ,  $u_0 = 0,3$ . Пружні властивості матеріалу: модулі пружності  $C_{11} = 400 \text{ МПа}$ ;  $C_{12} = 220 \text{ МПа}$ ;

$C_{22} = 1040$  МПа; коефіцієнти Пуассона  $u_{11} = 0,55$ ,  $u_{12} = 0,35$ . Коефіцієнти механіко-сорбційної повзучості:  $m_{11} = 0,15$  МПа $^{-1}$ ;  $m_{12} = 0,2$  МПа $^{-1}$ ;  $m_{22} = 0,1 \cdot 10^{-3}$  МПа $^{-1}$ .

Експериментальні значення реологічних властивостей матеріалу визначали згідно з [18]. На рис. 6б показано динаміку зміни напруженого стану у матеріалі з розмірами 0,2x0,02 м. Рис. 6а схематично зображає матеріал (у силу симетрії задачі відображені лише четверту частину). Механізм формування нормальні напруження на поверхнях  $A_1A_2$  та  $A_2A_3$  є різним.

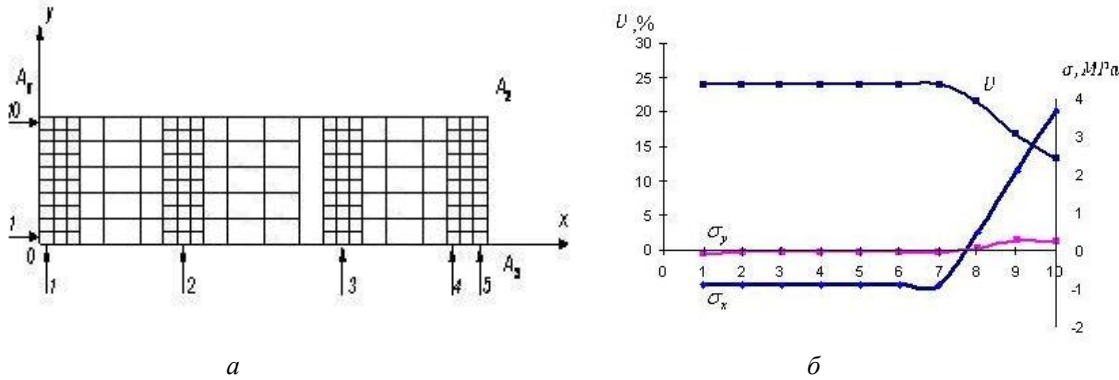


Рис. 6. а – схематичне зображення об’єкта;  
б – зміна напружень у матеріалі для різних моментів часу і вологості

Аналіз чисельного експерименту зіставлення результатів розрахунків з результатами відомих одновимірних моделей свідчить про те, що розроблене програмне забезпечення дає змогу з необхідною точністю здійснювати розрахунок та аналіз в’язко-пружного стану капілярно-пористих матеріалів.

Важливим є те, що за об’єктно-орієнтованим підходом можна отримувати програмну систему відкритої структури. Це дає змогу використовувати його для чисельного моделювання задач різного фізичного змісту.

### Висновок

У концепціях об’єктно-орієнтованого підходу та нотації UML розроблене програмне забезпечення для чисельного моделювання та аналізу в’язко-пружного стану капілярно-пористих матеріалів. Створене програмне забезпечення складається із задокументованих класів, які відповідають концепції застосування MCE і можуть бути повторно використані для реалізації інших фізично подібних моделей з використанням методу скінчених елементів.

1. Forde, B. Object-oriented finite element analysis/ B. Forde, R. Foschi, S. Steimer// Computers and Structures. – 1994. – Vol. 34, no. 3. – Pp. 355 – 374.
2. Zeglinski, G.W. Object-Oriented Matrix Classes For Use In A Finite Element Code Using C++/ G.W. Zeglinski, R.P.S. Han, A.P.// International Journal For Numerical Methods In Engineering. – 1994. – Vol. 37, no. 22. – Pp. 3921 – 3937.
3. Zimmermann, T. Object-Orient Finite Element Programming: I. Governing Principles/ T. Zimmermann, Y. Dubois-Pelerin, P. Bomme// Computer Methods in Applied Mechanics and Engineering. – 1992. – Vol. 98, no. 2. – Pp. 291 – 303.
4. Dubois-Pelerin, Y. Object-Orient Finite Element Programming: III. An Efficient Implementation in C++/ Y. Dubois-Pelerin, T. Zimmermann// Computer Methods in Applied Mechanics and Engineering. – 1993. – Vol. 108, no. 1 – 2. – Pp. 165 – 183.
5. Соколовський Я.І. Моделювання деформаційно-релаксаційних процесів у висушуванні деревині методом скінчених елементів/ Я.І. Соколовський, А.В. Бакалець// Вісник Нац. ун-ту «Львівська політехніка»: Комп’ютерні науки та інформаційні технології. – 2006. – Вип. 565. – С. 51 – 57.
6. Соколовський Я.І. Математичні та програмні аспекти моделювання та оптимізації гідротермічних процесів/ Я.І. Соколовський, А.В. Бакалець// Комп’ютерні науки та інформаційні технології CSIT-2009: IV міжнародна науково-технічна конференція. – Львів: НУ «Львівська політехніка», 2009. – С. 141 – 144.
7. Бакулин В.Н. Объектно-ориентированная реализация метода конечных элементов/ В.Н. Бакулин, В.О. Каледин, Вл.О. Каледин// Математическое моделирование. – 2003. – Т. 15. №2 – С. 77 – 82.
8. Альес М.Ю. Построение и адаптация конечно-элементной сетки при решении эллиптической задачи второго

порядка/ М.Ю. Альес, С.П. Копысов, А.К. Новиков// Математическое моделирование. – 1997. – Т. 9, №2. – С. 43 – 45. 9. Копысов, С.П. Комбинированное уточнение по  $p$  – и  $h$ -версии МКЭ при решении трехмерных задач теории упругости/ С.П. Копысов, С.Л. Устюжанин // XIII Всероссийской конференции посвященной памяти К.И. Бабенко «Теоретические основы и конструирование численных алгоритмов для решения задач математической физики». – Пущино: 2000. 10. Zienkiewicz O.C. The Finite Element Method: Its Basis and Fundamentals/ Zienkiewicz O.C., Taylor R.L., Zhen. Z// Elsevier. Oxford, 6-th Edition, 2005. – 792 р. 11. Коваль В. Генерація адаптивних сіток з чотиризначних елементів у скінченно-елементному аналізі/ В. Марал, Я. Савула// Вісник Львівського національного університету ім. І. Франка, серія «Прикладна математика та інформатика». – 2002. – №10. – С. 64 – 71. 12. Макар В. Автоматизована числовая схема розв'язання краївих задач на основі  $h$ -адаптивного методу скінчених елементів/ В. Макар, О. Кулиш// Вісник національного університету «Львівська політехніка», 2011, №694, стор. 406 – 413. 13. Копысов С.П. Реализация объектно-ориентированной модели метода бесконечных областей на основе параллельных распределённых элементов// С.П. Копысов, И.В. Краснопёров, В.Н. Рычков// Вычислительные методы и программирование. – 2003. – Т.4., №1. – с.194 – 206. 14. Савула Я.Г. Числовий аналіз задач математичної фізики варіаційними методами/ Я.Г. Савула. – Львів: ВЦ ЛНУ ім. І. Франка, 2004. – с. 222. 15. Sokolowsky Ya. Mathematical simulation of deformational and relaxation process in capillary-porous materials/ Ya. Sokolowsky, O. Mokritska// Forestry, Forest, Paper and Woodworking Industry, 2010, №36. p.116 – 124. 16. Соколовський Я.І. Математична модель в'язко-пружного деформування капілярно-пористих матеріалів/ Я. Соколовський, О. Мокрицька// Науковий вісник: Збірник науково-технічних праць. – Львів, НЛТУ України, 2011, Вип. 21.2. стр. 320 – 328. 17. JAMA: A Java Matrix Package [електронний ресурс]. – <http://math.nist.gov/javanumerics/jama/> 18. Соколовський Я.І. Методика та результати експерименту нових досліджень реологічної поведінки деревини/ Я. Соколовський, Й. Андреняк// Науковий вісник: Збірник науково-технічних праць. – Львів, УкрДЛТУ. – 1999. – Вип. 9.13. – С. 15 – 26.

УДК 531.36+534

I. Дронюк

Національний університет “Львівська політехніка”,  
кафедра автоматизованих систем управління

## МОДЕЛЮВАННЯ ЗБУРЕНИХ КОЛИВНИХ СИСТЕМ ЗАСОБАМИ АТЕВ-ФУНКЦІЙ

І. Дронюк I., 2011

Здійснено моделювання періодичних процесів у коливних системах на основі Ateb-функцій без збурень. Розглянуто типи малих збурень, які діють на коливну систему. Розроблено відповідне програмне забезпечення, яке подає результати у графічному і табличному вигляді.

**Ключові слова:** Ateb-функції, коливні системи з малим збуренням, моделювання.

A simulation of periodic processes in vibration systems based on Ateb-functions without perturbation was done. The types of small perturbations that act on the vibration system are considered. Appropriate software that provides results in graphical and tabular form is developed.

**Keywords:** identification, Ateb-function, oscillating system with small perturbation, simulation.

### Вступ

Методи математичного моделювання коливних процесів ґрунтуються на диференціальних рівняннях. Побудова точних розв'язків ґрунтується на асимптотичних методах та теорії Ateb-